

樹材栽培靈芝實體中鎧元素之分光光譜分析

王 振 澜

摘要

本實驗應用分光光譜分析法測定15種試材之鎧含量。試材包括段木樹材5種，栽培之鐵杉靈芝5種，栽培之赤芝4種及天然赤芝1種。所使用之呈色劑有苯夫倫(PF)及橡素硫酸(QA)2種，苯夫倫則以PVA及CTAB 2種擴散劑分別配合應用。

分析結果顯示，樹材含鎧量(ug/g)順序為紅豆樹(0.78)，瑞芳楠(0.72)，摩鹿加合歡(0.58)，相思樹(0.55)，單刺櫟(0.13)。含鎧量較高之5種栽培靈芝順序為瑞芳楠之赤芝(10.3)，紅豆樹之鐵杉靈芝(8.73)，相思樹之赤芝(7.35)，瑞芳楠之鐵杉靈芝(7.20)及相思樹之鐵杉靈芝(5.15)。天然赤芝則含9.33ug/g，僅次於瑞芳楠赤芝。

比較樹材及栽培靈芝之鎧含量（紅豆樹未生長赤芝），得知樹材含鎧量與所栽培之靈芝鎧含量之間具有正相關性，而相同樹材所栽培之赤芝則較鐵杉靈芝含鎧量高。

關鍵詞：分光光譜分析法，鎧含量，呈色劑，擴散劑，段木樹材，栽培靈芝。

王振瀾 1990. 樹材栽培靈芝實體中鎧元素之分光光譜分析. 林業試驗所研究季刊，6(1):7-19

The Analysis of Germanium in Ganoderma Basidiocarp Cultivated with Logs

Chen-Lan Wang

[Summary]

The spectrophotometric analysis was applied to determine Ge element quantitatively in 15 samples. The samples included 5 tree logs, 5 cultivated *Ganoderma tsugae*, 4 cultivated and 1 natural-growing *Ganoderma lucidum*.

The complexing reagents used for Ge analysis were Phenylfluorone (PF), with PVA and CTAB as dispersants, and Quercetin sulfonic acid (QA).

The Ge contents in tree samples (ug/g) were found in the sequence as *Ormosia formosana* Kan (0.78), *Machilus zuihoensis* Hayata (0.72), *Albizia falcataria* Backer (0.58), *Acacia confusa* (0.55) and *Castanopsis stipitata* (0.13). The five cultivated *Ganoderma* samples with higher Ge contents (ug/g) were found to be *G.lucidum* from *M.zuihoensis* (10.3), *G.tsugae* from *O.formosana* Kan. (8.73), *G.lucidum* from *A.confusa* (7.35), *G.tsugae* from *M.zuihoensis* (7.20), and *G.tsugae* from *A.confusa* (5.15). The Ge content of natural-growing *G.lucidum* was 9.33ug/g.

The analytical results described above (no sample of *G.lucidum* from *O.formosana*) showed that the Ge contents of *Ganoderma* samples were positively

affected by the Ge contents of cultivating tree logs. Besides, the Ge content in *G.lucidum* was higher than the content in *G.tsugae* grown from the same tree species.

Key words: Spectrophotometric analysis, Ge content, complexing reagent, dispersant, tree log, cultivated Ganoderma.

Chen-Lan Wang 1991. The Analysis of Germanium in Ganoderma Basidiocarp

Cultivated with Logs. Bull. Taiwan For. Res. Inst. New Series. 6(1):7-

19

一、緒 言

靈芝為樹木之一種白腐菌，系*Ganoderma* 屬之總稱，在中國傳統醫藥中，佔有重要之地位（許瑞祥，王西華，1987；謝文全，1981），近年來，依據國內外對於靈芝成分及藥效之研究結果，獲知其中所含成分相當複雜，而鋨為重要有效成分之一（姜宏哲，萬明華，1986；Kohda, et al., 1985; Miyazaki, & Nishijima, 1981）。药理試驗顯示，有機鋨具有抗癌，防治高血壓，治療糖尿病及增強免疫力等功能（丹羽芳，1986；串田前一郎，1984；Nakagama, et al., 1987; Umezawa & Komiyama, 1987）。因此，鋨含量之高低應可提供評判靈芝品質及藥效之一項參考指標（姜宏哲，李金鵬，1989；姜宏哲等，1987；室田智子等，1984）。

作者曾應用6種樹材段木栽培3種靈芝菌，樹木分別是相思樹、臺灣紅豆樹、單刺櫟、瑞芳楠、摩鹿加合歡及杉木。菌種則為國科會提供之*G.lucidum* (TAI002), *G.tsugae* (TAI001) 及 *G.applanatum* (TAI003) (王振潤等，1989)。試驗結果顯示：*G.tsugae* 菌生長情況最好，除了杉木外，其他5種樹均獲得子實體；次為*G.lucidum* 菌，在除杉木及紅豆樹之外4種樹材上出現子實體之發育成長。至於*G.applanatum*，則並無任何子實體出現。因此，所收集之靈芝子實體共計9項，即5種樹材栽培之*G.tsugae* 菌及4種樹材栽培之*G.lucidum* 菌。對於栽培靈芝子實體之成分、品質及藥效，必要進一步加以研究探討，並建立完整之基礎資料，提供靈芝人工栽培及有效應用之參考。

本研究之主要目的為分析，測定各栽培樹木及各項靈芝實體中鋨成分含量，藉以篩選出鋨量高之菌種及樹材，了解樹材含鋨量與靈芝含鋨量之相關性，並決定優良之菌種與樹種組合。本研究結果可提供未來靈芝栽培利用之參考，同時本分析方法亦可應用於測定其他藥用植物之鋨含量。

二、材料與方法

1. 實驗材料 (王振潤等，1989)

(1)段木樹材5種

相思樹 (*Acacia confusa* Merr.)

摩鹿加合歡 (*Albizia falcataria* Backer ex Merr.)

臺灣紅豆樹 (*Ormosia formosana* Kan.)

瑞芳楠 (*Machilus zuihoensis* Hayata)

單刺櫟 (*Castanopsis stipitata* Hay. Nakai.)

(2)由上述5種樹材段木所栽培之靈芝菌*Ganoderma tsugae* (鐵杉靈芝，編號TAI002)。

(3)由4種樹材段木 (相思樹、摩鹿加合歡、瑞芳楠、單刺櫟) 所栽培之靈芝菌*Ganoderma lucidum* (赤芝，編號TAI001)，及野生赤芝一種。以上試材共計15種。

2. 藥品及試劑(Burns and Dadgar, 1980; Aznarreza, et al. 1985; Ashton, et al. 1973)

二氧化鋨(GeO_2)，99.999%，E.Merck

苯夫倫 (Phenylfluorone, $\text{C}_{19}\text{H}_{12}\text{O}_5$, M.W.=320.3), E.Merck

橡素磺酸 (Quercetin sulfonic acid, $\text{C}_{15}\text{H}_{9}\text{O}_{10}$ S, 382.3), 東京化成

聚乙烯醇 (Polyvinyl alcohol, M.W.=72,000), E.Merck

硫胱氨酸 (L-Cysteine, M.W.=121.1), Sigma

溴化十六烷基三甲基銨 (Cetyltrimethylammonium bromide, CTAB), E.Merck

維生素C (Ascorbic acid), E.merck

硫酸月桂脂鈉 (SDS, Sodium Laurylsulfate), 日本Nakarai公司

甲酇, E.Merck；四氯化碳 (CCl_4)，試藥一級

鹽酸, 37%, E.Merck；硫酸，試藥一級

氫氧化鈉，試藥一級

磷酸一氫鈉 (Ammonium phosphate, dibasic), 試藥一級

3. 實驗步驟 (姜宏哲, 奈金鵬, 1989 ; Burns and Dadgar, 1980; Ashton, et al, 1973; Luke & Campbell, 1956; Donaldson, 1984)

(1) 標準溶液之製備：

本試驗中, 配製各項溶液所使用之蒸餾水, 均經過二次蒸餾(double distillation) 及去離子(deionized)處理。

a. 鋅標準溶液(100ppm 及 5ppm)：

精確稱量0.1441g之GeO₂ (相當於0.100g之Ge元素), 溶於300ml蒸餾水, 待完全溶解後, 加蒸餾水稀釋至1 Liter, 即為100ppm(mg/l)之鋁標準溶液。

精確量取10ml之100ppm Ge標準液, 加蒸餾水稀釋至200ml, 即為5ppm之鋁標準溶液。

b. 苯夫倫(簡稱PF)溶液：

(a) 濃度0.02%—

精確稱量0.100g之Phenylfluorone, 置入500ml之量瓶中, 加入200ml甲醇及2.0ml之濃鹽酸, 並攪拌之。待完全溶解後, 以甲醇稀釋至500ml。

(b) 濃度0.001M—

精確稱量0.160g之Phenylfluorone, 如同(a)中之方法配製500ml之溶液。

c. 機素磺酸(Quercetin sulfonic acid)溶液(0.15%)—

精確量取0.300g之Quercetin sulfonic acid, 置於200ml量瓶中, 加150ml蒸餾水, 使完全溶解, 再以蒸餾水稀釋至200ml。

d. 聚乙烯醇(Polyvinyl alcohol)溶液(0.25%)

稱量0.500g之Polyvinyl alcohol, 溶於200ml蒸餾水中, 加熱攪拌至完全溶解。

e. 硫酸月桂脂鈉(SDS, Sodium Lauryl sulfate)溶液(1%)—

將1.00g之Sodium Lauryl sulfate(簡稱SDS)溶於600ml熱水中(~90°C), 待冷卻後, 加水稀釋至100ml (每次用前配製)

f. 汽化十六烷基三甲基鉀(CTAB)溶液(0.9%)

稱量0.90g之CTAB, 置入100ml量瓶中, 加入60ml之蒸餾水, 加熱攪拌使完全溶解, 冷卻後加水稀釋至100ml。

g. 硫胱氨酸(L-Cysteine)溶液(4%)—

稱取0.400g之硫胱氨酸加入100ml之蒸餾水, 並攪拌使完全溶解。(每次用前配製)

h. 緩衝溶液(PH=5.7)—

將磷酸二氫鉀5.75g與磷酸一氫鉀0.65g溶於500ml蒸餾水中。

i. 維生素C(Ascorbic acid)溶液(10%)—

稱量2.0g之維生素C, 加入18.0ml之蒸餾水, 搅拌使均勻溶解。

(2) 標準曲線之製定：

本試驗所使用之UV-VIS Spectrophotometer係JASCO公司之UVIDEC-650.

a. PF呈色法—

(a) 應用PVA為擴散劑(Dispersant)—

精確量取1,2,3,4,5ml之鋁標準溶液(5ppm), 分別置於5只25ml之量瓶, 各加入5ml之6N HCl, 2.5ml之0.25PVA溶液, 並加蒸餾水, 使全量約20ml。再加1.5ml之PF溶液(0.02%)及少量蒸餾水, 至全量達25ml。據烈搖盪30sec, 置室溫30min。應用UV-VIS分光光儀, 以1cm光徑之石英液槽, 對照不加鋁之空白溶液(Blank Solution), 分別測定標準溶液之吸收光譜, 再以高峰吸收光度 (Maximum absorbance) 對溶液濃度 (0.2, 0.4, 0.6, 0.8 及 1.0ppm) 做圖, 繪製標準曲線 (standard curve or稱Calibration curve)。

(b) 應用SDS為擴散劑—

精確量取1,2,3,4,5ml之鋁標準溶液(5ppm), 分別置於5只25ml之量瓶中, 先稀釋至12ml, 加1ml之濃鹽酸, 2.5ml之SDS溶液(1%)及1.5ml之PF溶液(0.02%), 再以蒸餾水稀釋至25ml。靜置10min, 應用UV-VIS分光光譜儀測定吸收光譜, 並以高峰吸收光度(Abs.max.)對鋁濃度繪製標準曲線。

(c) 應用CTAB為擴散劑—

精確量取0.5, 1, 1.5, 2, 及 2.5ml之鋁標準溶液(5ppm), 分別置於5只25ml之量瓶中, 以蒸餾水稀釋為10ml, 加2.0ml之維生素C(10%), 3.0ml之12N鹽酸, 2.0ml之CTAB溶液(0.9%), 以及2.0ml之PF溶液(0.001M), 再加蒸餾水稀釋至25.0ml。搖盪後, 靜置15min, 測定光譜, 並以高峰吸收光度對鋁濃度(0.1, 0.2, 0.3, 0.4, 0.5ppm)作圖, 繪製曲線。

鋁元素與PF分子形成之錯合結構如圖1. (Sandell & Onishi, 1978)

b. QA呈色法—

精確量取1,2,3,4,5ml之鋁標準溶液(5ppm), 分別置於25ml之量瓶中, 加入硫胱氨酸溶液(L-Cysteine)5ml, 緩衝溶液(PH=5.7)5ml, 及QA(0.15%)5ml, 再加蒸餾水至全量為25ml, 搖盪後, 於室溫下靜置30min., 應用UV-VIS分光

光譜儀測定溶液吸光度，並以高峰吸光度對Ge溶液濃度(0.2,0.4,0.6,0.8,1.0ppm)作圖，繪製標準曲

線。

鍺元素與QA分子形成之錯合結構如圖2.(Sandell & Onishi, 1978)

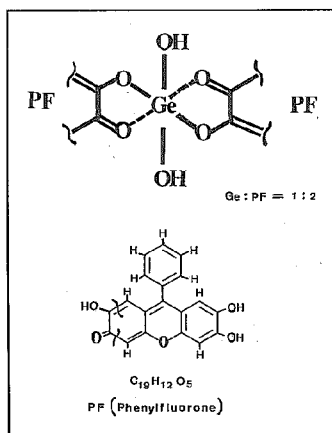


圖1. 鍺離子與PF分子形成之錯合結構

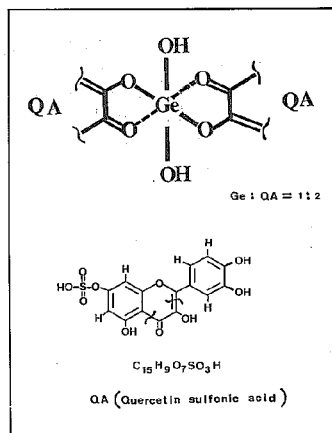


圖2. 鍺離子與QA分子形成之錯合結構

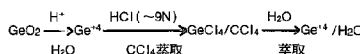
(3)試材之鍺含量測定—

a. 應用PF-PVA呈色法測定鍺含量：

將試材烘乾，切碎，磨成粉末，稱稱乾燥之樣品粉末20g，分裝於4個50ml坩堝中，並將坩堝置入高溫電爐(NEYTECH 85P)。高溫爐升溫至600°C保持2hr，使樣品完全灰化。取出坩堝冷卻後，加入30ml蒸餾水，加熱攪拌至60°C，使坩堝內之灰化物溶解，將溶液部份移至燒杯中，剩餘未溶解之殘渣以2ml 15% H₂SO₄ (v/v %)溶解之，並移入上述燒杯中，以1N之NaOH溶液調整PH至3.0-4.5，加蒸餾水至全量為50ml。取10ml灰化液，置於100mL分液漏斗中，加入30ml濃鹽酸及10ml CCl₄，振盪5min，靜置5min，將CCl₄

層移至另一分液漏斗中，並重覆本步驟一次；共收集20mL CCl₄溶液，置於分液漏斗中，加入15mL之蒸餾水，振盪15min，靜置5min，水層移至50mL量瓶中，剩餘之CCl₄再以10mL蒸餾水萃取一次，水層移入上述量瓶中，共得25mL水溶液。再加入10mL之6N HCl溶液5mL或0.25% PVA溶液及3mL之0.02% PF溶液，最後加入蒸餾水，使全量達50mL，振盪20sec，室溫下放置30min，應用UV-VIS分光光譜儀在504nm處測定吸光度，並以不加鍺之空白溶液(Blank Solution)做為對照。所得數值與標準曲線比較，計算試液中之鍺濃度(ppm)及樣品中鍺含量(ug/g)。

鍺由灰份中分離純化之反應過程如下：



應用PF-CTAB呈色法測定鎘含量：

精稱乾燥之樣品粉末（段木樹材20g，靈芝子實體10g）如同步驟(3a)中之方法將樣品完全灰化，並以蒸餾水及15% H₂SO₄溶液將灰化物溶解，調整PH至3.0-4.5後，再加水配製全量為50ml之灰化液，取10ml灰化液，應用濃鹽酸及CCl₄萃取法，收集20ml之GeCl₄/CCl₄溶液，再以蒸餾水(15ml)萃取CCl₄溶液2次，將所得30ml水溶液移置於50ml量筒中，加入Vit.C溶液(10%4ml)，12N HCl 6ml，CTAB 溶液(0.9%) 4ml及PF溶液(0.001M)4ml，最後加蒸餾水，稀釋至總量50ml。振盪後靜置15min，於506nm處測吸光度，比較標準曲線，計算鎘含量。

c. 應用QA里色法測定鎘含量：

精稱乾燥之樣品粉末2g，置於50ml磁坩埚中，放入高溫爐以600°C，經2hr後，將樣品完全灰化。將灰化試樣移入雙口燒瓶中(50ml)，置於攪拌器上，並於燒瓶上加緩冷凝器(Condenser)，產生迴流(Reflux)功能，先將5ml 14% H₂SO₄加入燒瓶中攪拌5min，再加入10mlCCl₄及15ml濃鹽酸(0°C~5°C)，攪拌1hr，使充分混合，溶解倒入分液漏斗中，靜置5min，待完全分為二層，取CCl₄層，以15ml蒸餾水萃取一次，再以10ml蒸餾水重覆萃取一次，所收集之25ml水溶液以0.1N NaOH溶液將PH值調整至5.5-6.0，移入50ml量筒中，加入L-Cysteine溶液(4%)10ml，緩衝溶液(PH=5.7)10ml及QA溶液(0.1%)10ml。再加蒸餾水至全量50ml。搖盪20sec.，室溫下靜置，應用UV-VIS分光光譜儀在410nm處測定吸光度。

本實驗對於灰化試樣之處理方法與3 (a)中所述有所不同，主要是將灰份溶解及CCl₄萃取2步驟簡化，並應用圓底燒瓶及冷凝管之化學反應裝置以完成此項工作。

(4) 標準鎘回收試驗

a. 標準鎘濃度4ppm-

精確量取10ml之100ppm 標準GeO₂溶液，加入2g脫脂棉中，先置於90°C烘箱中乾燥2hr，再放入高溫爐中以600°C灰化2hr。取出灰份，以(3a)步驟中之方法配製試液，並應用PF-PVA呈色法進行鎘濃度測定，求出標準鎘回收率。

b. 標準鎘濃度1ppm-

精確量取5ml之100ppm 標準GeO₂溶液，稀釋至20ml(25ppm)。取10ml之25ppm鎘溶液，加入2g脫脂棉中，依4 (a)中之步驟處理試液並測定鎘濃度，求出鎘回收率。

c. 標準鎘濃度0.1ppm-

量取10ml之5ppm 標準GeO₂溶液，稀釋至20ml(2.5ppm)。取10ml之2.5ppm鎘溶液，加入2.0g脫脂棉中，依方法(4a)，求出鎘回收率。

三、結果與討論

1. 不同濃度苯夫倫(Phenylfluorone簡稱PF)水溶液之UV-VIS吸收光譜顯示於圖3中。溶液濃度為4,8,12及16ppm，分別由0.5ml,1.0ml,1.5ml及2.0ml之標準PF溶液(0.02%)稀釋至25ml，所得吸收高峰均出現於458nm波長處。

PF為一項靈敏度很高之Ge元素呈色劑。每一個Ge(IV)離子可與2個PF分子形成錯合結構，即Ge:PF=1:2(圖1)唯因所形成之錯合物屬於電中性，溶解度較低，必須藉助於擴散劑，方得以溶解於水中。擴散劑本身並不參與Ge-PF之錯合結構，其功能為促進Ge-PF分子之溶解，並增加其穩定性。

2. 應用PF為呈色劑所測出之各標準鎘溶液吸收光譜，以及根據高峰吸收度對鎘濃度所設定之標準曲線，依所使用之擴散劑不同，分別列示於圖4(PVA)，圖5(SDS)及圖6(CTAB)中。

分光光譜圖顯示PF-PVA-Ge。吸收高峰為504nm，PF-SDS-Ge為508nm附近(不穩定)，PF-CTAB-Ge則為506nm。觀察3種標準曲線圖，得知以PVA及CTAB為擴散劑所測得結果均十分精確(r值為0.999)，而以SDS為擴散劑所測得者，並不理想(r值為0.952)，主要原因乃是由於其吸收光譜不穩定所致。

3. 呈色劑QA具有磺酸基(Sulfonic acid)，屬於極性者，在水中溶解度較高，因此無需擴散劑協助其溶解。唯QA試劑價格甚高，為PF之5-6倍，因此較少應用。本試驗僅用於靈芝實體之分析，結果可與PF法分析者做一對照。應用QA為呈色劑所測量之標準鎘溶液吸收光譜及設定之相關標準曲線，顯示於圖7中，吸收高峰位於波長410nm處標準迴歸曲線之r值為0.997。

4. 本試驗配製各項溶液所用之蒸餾水均經過二次蒸餾及去離子處理，因此，制定標準鎘吸收光譜並無其他離子干擾之問題。但是，在分析樹材及靈芝樣品時，若未經過適當之前處理，則可能有Sb, Ga, Mo, Ti, Sn等元素形成干擾。本試驗乃利用GeCl₄分子不溶於高濃度HCl溶液(>7N)，而溶於稀酸，水溶液及CCl₄之特性，先將灰化液中之Ge元素與9NHCl形成GeCl₄，並以CCl₄萃取，所得之GeCl₄/CCl₄溶液再以水萃取之，而將Ge元素溶回水溶液，以便進行光譜分析。如此，可

以有效地使Ge與其他金屬元素分離。

5. 經本試驗分析鋨含量之段木試材包括相思樹、臺灣紅豆樹、單刺櫟、瑞芳楠、摩鹿加合歡5種樹材。測定方法採用PF-PVA及PF-CTAB2項呈色系統。表1中列示2種方法測得Ge濃度(ppm)，及換算之每單位重量試材中之鋨含量(ug/g)。各試液之Ge濃度值係將吸光度代入標準回歸曲線公式中，計算而得。標準曲線公式如下：

$$\text{PF-PVA : Ge濃度} = 1.705 \times \text{吸光度} + 0.007$$

$$\text{PF-CTAB : Ge濃度} = 0.446 \times \text{吸光度} - 0.008$$

單位試材重量(g)中所含鋨重量(ug)，乃是將

Ge濃度(mg/l or ug/ml)以下列公式換算而得：

$$\text{鋨含量 / 單位試材重量(ug/g)}$$

$$= \text{鋨溶液濃度(ug/ml)} \times 50\text{ml} \times (50\text{ml}/10\text{ml}) \times (1/20\text{g})$$

$$= \text{鋨溶液濃度} \times 12.5(\text{ug/g})$$

由表1中之分析結果，得知5種樹材含鋨量順序為紅豆樹≥瑞芳楠>摩鹿加合歡≥相思樹>單刺櫟，其中，臺灣紅豆樹與瑞芳楠含鋨量差異不大，而摩鹿加合歡及相思樹之鋨含量亦十分接近。

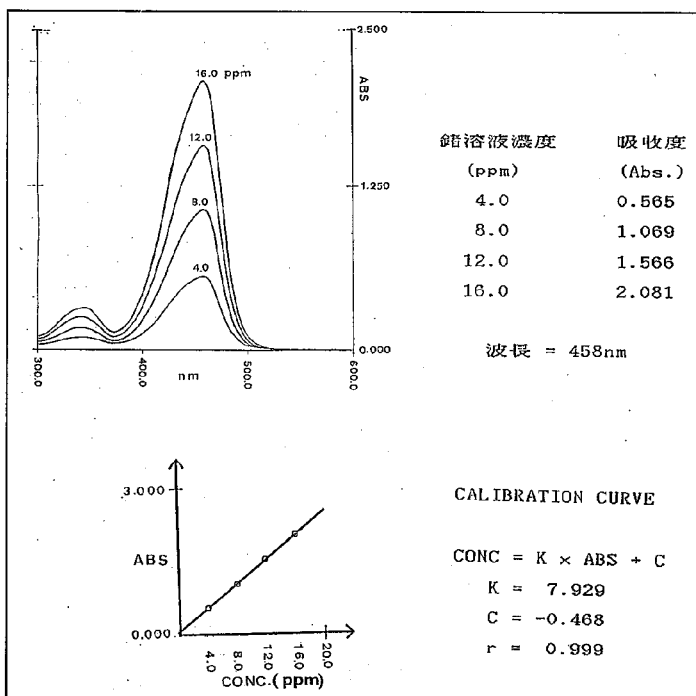


圖3. 莘夫倫(PF)水溶液之UV-VIS吸收光譜

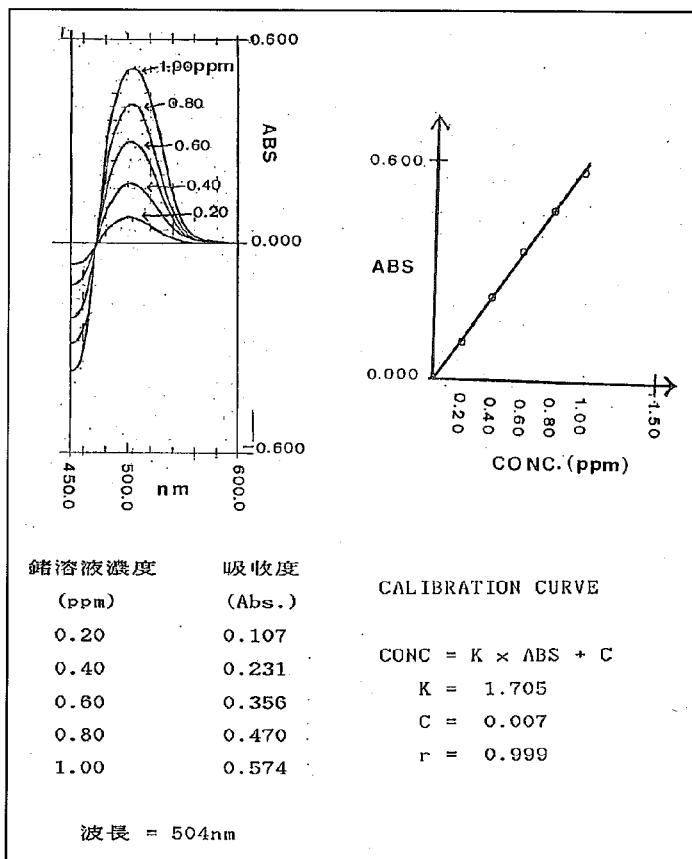


圖4. 應用PF-PVA呈色劑測定錫元素之吸收光譜及標準曲線

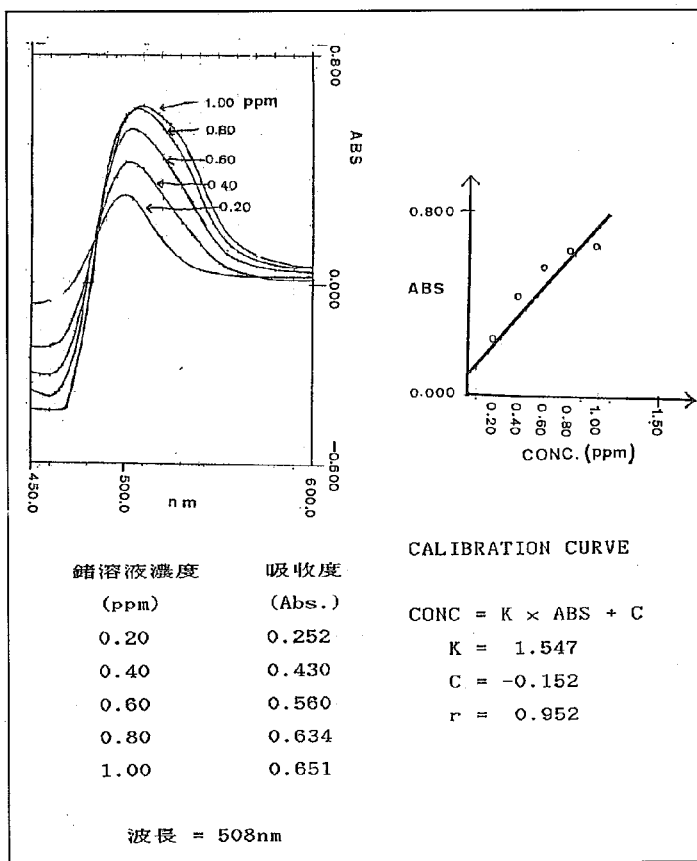


圖5. 應用PF-SDS呈色劑測定鎘元素之吸收光譜及標準曲線

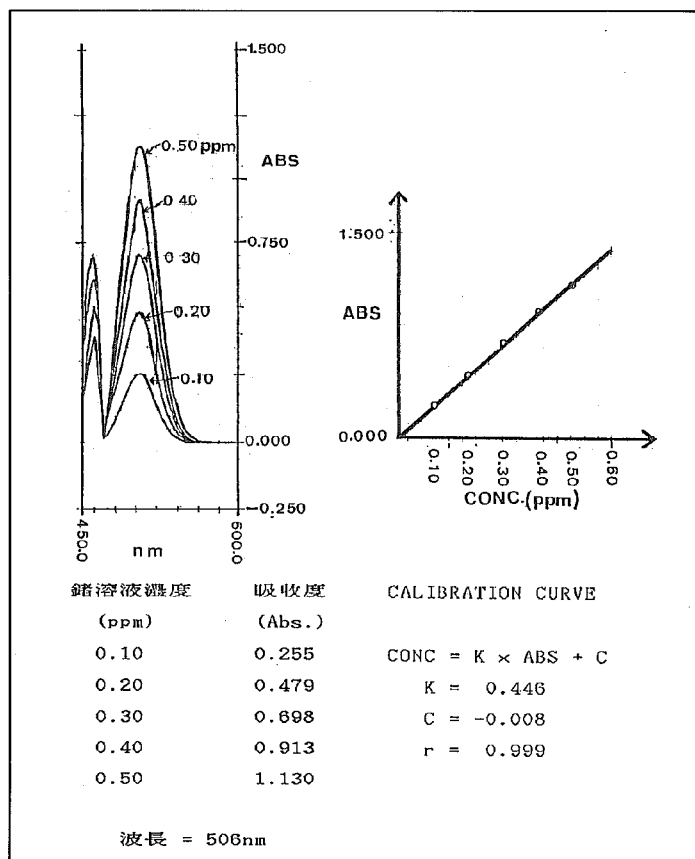


圖6. 應用PF-CTAB呈色劑測定銻元素之吸收光譜及標準曲線

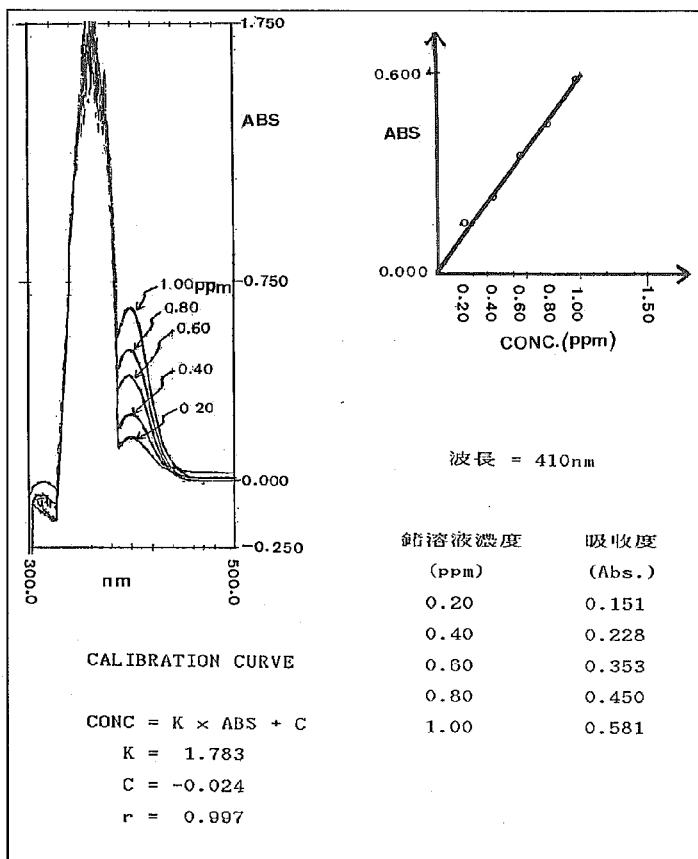


圖7. 應用QA呈色劑測定鎘元素之吸收光譜及標準曲線

表 1 段木樹材之鋅含量分析

段 名 稱 木 樹 材 編 號	PF-PVA 显色系統			PF-CTAB 显色系統			平均鋅 含量 (ug/g)
	平均吸 光度 *	鋅濃度 (ppm)	單位重試材 中鋅含量 (ug/g)	平均吸 光度 *	鋅濃度 (ppm)	單位重試材 中鋅含量 (ug/g)	
I. 相思樹	0.028	0.055	0.69	0.089	0.032	0.40	0.55
II. 台灣紅豆樹	0.042	0.078	0.98	0.121	0.046	0.58	0.78
III. 单刺櫟	-- * *	----	---	0.040	0.010	0.13	0.13
IV. 瑞芳楠	0.039	0.073	0.91	0.112	0.042	0.53	0.72
V. 厚壳油合歡	0.030	0.058	0.73	0.095	0.034	0.43	0.58

* 測量 3樣品之平均值。

** 濃度低於呈色靈敏度，無法有效測得吸光度。

6. 本實驗中，進行分析之靈芝子實體計有栽培之鐵杉靈芝5種，栽培之赤芝4種及野生赤芝1種，鋅成分之分析方法則應用PF-PVA，PF-CTAB及QA3種呈色系統。分析結果列於表2，表3及表4之中。

表 2 靈芝子實體之鋅含量分析-PF-PVA法

試材編號* 及測定項目	I-1	III-1	IV-1	V-1	I-2	II-2	III-2	IV-2	V-2	O-1
平均吸光度**	0.353	0.103	0.574	0.249	0.324	0.454	0.084	0.348	0.183	0.601
鋅濃度(ppm)	0.609	0.183	0.985	0.431	0.559	0.781	0.150	0.601	0.319	1.03
單位重量試材 中之鋅含量	7.51	2.29	12.3	5.39	6.99	9.76	1.88	7.51	3.99	12.9
(ug/g)										

* 栽培樹材編號(I-V)所代表樹種，參考表1。

** 菌種編號 1-赤芝，2-鐵杉靈芝，0-1表野生赤芝

** 測量 3樣品之平均值。

表 3 靈芝子實體之鋅含量分析-PF-CTAB法

試材編號* 及測定項目	I-1	III-1	IV-1	V-1	I-2	II-2	III-2	IV-2	V-2	O-1
平均吸光度**	0.587	0.146	0.756	0.383	0.365	0.693	0.130	0.543	0.245	0.621
鋅濃度(ppm)	0.254	0.057	0.328	0.163	0.155	0.301	0.050	0.234	0.101	0.269
單位重量試材 中之鋅含量	6.35	1.43	8.23	4.08	3.88	7.53	1.25	5.85	2.53	6.73
(ug/g)										

* 栽培樹材編號(I-V)所代表樹種，參考表1。

** 菌種編號 1-赤芝，2-鐵杉靈芝，0-1表野生赤芝

** 測量 3樣品之平均值。

表 4 灵芝子實體之鋅含量分析-QA法

試材編號*及測定項目	I-1	III-1	IV-1	V-1	I-2	II-2	III-2	IV-2	V-2	O-1
平均吸光度**	0.195	0.083	0.244	0.145	0.116	0.213	0.065	0.198	0.106	0.201
鋅濃度(ppm)	0.324	0.148	0.411	0.235	0.183	0.356	0.092	0.329	0.165	0.334
單位重量試材										
中之鋅含量 (ug/g)	8.10	3.70	10.3	5.88	4.57	8.90	2.30	8.23	4.12	8.35

*栽培樹材編號(I-V)所代表樹種，參考表1。
齒種編號 1-赤芝，2-鐵杉靈芝，3-表野生赤芝

**測量 3樣品之平均值。

有關PF-PVA及PF-CTAB2種呈色法之鋅濃度及單位重量試材之含鋅量計算法及計算公式，已於上段樹材分析中敘述。PF-PVA呈色法之計算完全相同，而PF-CTAB呈色法部份，由於試材使用量為10g，故換算單位重試材中鋅含量如下式：

$$\begin{aligned} \text{鋅含量 / 單位試材重量(ug/g)} \\ = \text{鋅溶液濃度(ug/ml) } \times 50\text{ml} \times (50\text{ml}/10\text{ml}) \\ \times (1/10\text{g}) \\ = \text{鋅溶液濃度} \times 25(\text{ug/g}) \end{aligned}$$

此外，應用QA呈色法測定鋅濃度之標準迴歸曲線公式如下：

$$\text{鋅濃度} = 1.783 \times \text{吸光度} - 0.024$$

單位試材重量(g)中所含鋅重量(ug)，則以下公式換算而得：

$$\text{鋅含量 / 單位試材重量(ug/g)}$$

= 鋅溶液濃度(ug/ml) $\times 50\text{ml} \times (1/2\text{g})$

= 鋅溶液濃度 $\times 25(\text{ug/g})$

綜合表2至表4之分析結果，各項栽培靈芝子實體之平均單位重含鋅量(ug/g)，依照多寡順序排列如下：

IV-1(10.3), II-2(8.73), I-1(7.35), IV-2(7.20), I-2(5.15), V-1(5.12), V-2(3.55), III-1(2.47), III-2(1.81).

野生赤芝含量9.33ug/g，僅次於瑞芳楠栽培赤芝。

7.標準鋅回收試驗之結果列於表5。綜觀三種濃度鋅溶液之回收率，除了低濃度(0.1ppm)者僅89.0%，其他兩項標準鋅濃度(4.0ppm及1.0ppm)之回收率均介於90~95%之間，堪稱理想。本試驗各項鋅濃度測定結果，精確度平均應在90%以上。

表 5 標準鋅回收率

標準鋅濃度(ppm)	回收液之PF-PVA顯色吸收度	回收液之濃度(ppm)*	回收率(%)
4.0	2.19	3.74	93.5
1.0	0.548	0.941	94.1
0.1	0.048	0.089	89.0

*依照 PF-PVA 顏色系統之標準迴歸曲線公式計算而得。

四、結論

1.本實驗應用PF呈色劑樹材及靈芝實體之鋅含量，所使用擴散劑有PVA及CTAB 2種。比較同一試樣之分析結果，PF-PVA系統所測得之鋅濃度，均較PF-CTAB所測者為高。唯鋅濃度低於0.02ppm之試液，PF-PVA呈色劑無法有效測得吸光度，而PF-CTAB則可測達0.01ppm。

鋅元素以PF-PVA呈色所測得之濃度偏高，可能是由於標準溶液之單位濃度吸光度較實際值偏低，所得標準曲線之濃度對吸光度比值相對高估，以致分析植物試樣中鋅含量時，依吸光度所判定之鋅濃度較實際為高。因此，可知應用PF-CTAB呈色系統分析鋅成分，其偵測極限值可達較低之濃度，精確度也較高，而PF-PVA則極限值較高，而精確度相對較低，顯然CTAB為較理

想之擴散劑。

2. 應用QA呈色劑所測得之靈芝實體鉻含量，與2種PF呈色法所測得者敘一比較。結果顯示，不同試材之鉻含量多寡順序為一致。根據3種呈色方法所得之分析數值，取平均值定為各試材之鉻含量，得知，瑞芳楠栽培之赤芝含鉻量最高($10.3\mu\text{g/g}$)，次為紅豆衛生長之鐵杉靈芝($8.73\mu\text{g/g}$)，再次為相思樹之赤芝($7.35\mu\text{g/g}$)及瑞芳楠之鐵杉靈芝($7.20\mu\text{g/g}$)。

樹材之含鉻量較靈芝含鉻量為低，均未達 $1\mu\text{g/g}$ ，鉻含量最高之樹材為臺灣紅豆樹及瑞芳楠，次為摩鹿加合歡及相思樹。對照前述之靈芝含鉻量，可以了解，樹材之含鉻量對所栽培之靈芝含鉻量確實有影響，兩者之間具正相關性，此外，兩種之不同也是決定含鉻量多寡之一項因素，本實驗中，相同樹材栽培之赤芝較鐵杉靈芝含鉻量高。

本研究承國科會(NSC-78-0409-B054-15)計畫補助，謹此致謝。

引用文獻

- 王振濁、林玉含、陳春雄 1989. 段木栽培靈芝子實體之研究 國科會專題計畫研究報告(NSC-77-0606-B-054-01).
- 丹羽芳男 1986. 鉻可治療現代病. (中文版), 青春出版社(臺北市) 117.
- 串田真一郎 1984. 鉻對癌有效. Health研究所(大阪) 110.
- 室智子、渡邊復三 1984. 野菜、生薑及生藥抽出液中鉻含量(第一報). 神戶女子大學紀要, 17(2):25.
- 姜宏哲、李金鵬 1989. 化學(中國化學學會, 台北), 47(2):111.
- 姜宏哲、林美吟、簡秋源 1987. 中華真菌協會會刊, 2:149.
- 姜宏哲、萬明華 1986. 中藥之鉻定量改良法研究. 臺灣藥學雜誌, 38(3):189.
- 許瑞祥、王西華 1987. 霸芝屬(Ganoderma)菌株分類系統之研究. 霸芝研究發展研討會演講摘要: 1-2.
- 謝文全 1981. 歷代諸家本草所論之靈芝. 明通醫藥, 50: 2-5.
- Aznarez, J., P. Moneo, J.C. Vidad and F. Palacios. 1985. Extraction-Spectrophotometric Determination of Germanium with Phenylfluorone in N,N-Dimethyl formamide Analyst, 110:747.
- Ashton, A., A.G. Fogg and D.T. Burns. 1973. Z. Analyst Chem. 264:133.
- Burns, D.T. and D. Dadgar. 1980. Improvements to the Spectrophotometric Determination of Germanium with Phenylfluorone Analyst, 105:75.
- Burns, D.T. and D. Dadgar 1980. Improvements to Spectrophotometric Determination of Germanium with Bromopyrogallol Red Analyst, 105:1082.
- Donaldson, E.M. 1984. Spectrophotometric Determination of Germanium in ores, concentrates, Zinc-processing products and Related Materials with Phenylfluorone and Cetyltrimethyl ammonium Bromide after Separation by Iron collection and Heptane Extraction of Germanium Tetrachloride. Talanta, 31:997.
- Kohda, H., W. Tokumoto, K. Sakamoto, M. Fujii, Y. Hirai, K. Yamasaki, Y. Komoda, H. Nakamura, S. Ishihara and M. Uchida. 1985. The biologically active constituent of *G. lucidum* (Fr) Karst, Histamine release-inhibitory triterpenes. Chem. Pharm. Bull. 33(4): 1367-1374.
- Luke, C.L. and E. Campbell. 1956. Photometric Determination of Germanium with phenylfluorone. Anal. Chem. 28:1273.
- Miyazaki, T. and M. Nishijima. 1981. Studies on Fungal Polysaccharides XXVII Structural Examination of a water-soluble, antitumor polysaccharide of *G. lucidum*. Chem. Pharm. Bull. 29 (12):3611.
- Nakagama, N., M. Okada and Y. Minamishima. 1987. Protective effect of Ge-132 (an organic germanium cpd) on murine cytomegalovirus infection. Chemotherapy (Tokyo), 35(7):546.
- Sandell, E.B., and H. Onishi. 1978. Photometric Determination of Traces of Metals. General Aspects. 4th Ed, John Wiley, New York.
- Umezawa, I. and K. Komiyama. 1987. Suppressive effect of organogermanium Ge on vaccinia virus infection. Igaku to Seibutsugaku, 114(6):393.